# きめ細かな土砂災害危険度情報の作成技術の開発

研究予算:運営費交付金(一般勘定)

研究期間:平22~平25

担当チーム:火山・土石流チーム研究担当者:石塚忠範、内田太郎

## 【要旨】

斜面崩壊の発生予測を行う上で、土層厚の計測データが重要であることが広く認識示されている一方で、土層厚の計測密度が表層崩壊の発生予測結果に及ぼす影響を検討した事例はほとんどない。そこで、当チームが開発し、有効性が検証されたモデルを用いて土層厚の計測密度と発生予測結果の関係を分析した。その結果、斜面崩壊に必要な定常降雨強度  $(r_c)$  の算出結果は、斜面勾配や集水面積よりも土層の計測密度に支配されていることがわかった。また、土層厚の計測密度を既往の崩壊地幅と同程度とした場合、表層崩壊の危険度評価を良好に行えることを示した。

キーワード:斜面崩壊、土層厚、斜面勾配、集水面積、簡易貫入試験

#### 1. はじめに

1980年代以降、表層崩壊の発生場所を予測する数 値モデルとして、浸透流解析等の雨水流出に関する モデルと斜面安定解析を組み合わせた手法が提案さ れてきた<sup>例えば 1)~7)</sup>。さらに、近年のコンピュータ能 力の向上に伴い、メッシュサイズ、計算時間刻みの 細かい計算や複雑な過程を取り入れたモデルの計算 が可能となってきた。しかし、物理モデルで複雑な 自然現象を全て表現しようとすると、物理モデル中 のパラメータが増え、パラメータの計測に多大な労 力がかかるという問題が生じる。そのため、1 斜面 といった小さなスケールを対象とした検討を除くと、 表層崩壊発生予測計算における土層厚、土壌の物理 性は代表値を用いるものとし、流域内で一様、もし くは数点の測定結果に基づく近似値を用いることが 多い<sup>2)、7)</sup>。そこで、著者らは、表層崩壊の発生予測 においては、数値モデルの複雑さに入力条件となる データ取得がついていけない状態に陥っている可能 性、言い換えれば、表層崩壊の予測に関しては、モ デルのパラメータの設定に係わるデータ取得が予測 精度の1つの制約条件となっている可能性を指摘し た 8)。その上で、物理モデルの入力条件のうち、測 定が比較的容易な地形、土層厚等の基本的に実測で きるもののみで構成されている簡易な物理モデルを 用いて、表層崩壊の発生箇所の予測計算を行い、モ デルの入力条件の設定方法の違いが表層崩壊発生予 測の精度に及ぼす影響を検討した。その結果、比較 的単純な危険度評価手法であっても、土層厚の空間

分布を用いるとともに、地形量の算出に基岩面を用いた場合、表層崩壊の相対的な危険性を比較的精度 良く表現することが可能であることを示した<sup>8)</sup>。

一方、無限長斜面安定解析式に対し、感度分析を 行った研究では、基岩勾配と表土層厚が特に安全率 に影響を及ぼすことが指摘されており、同様に土層 厚の計測が表層崩壊発生場所を予測する上で、重要 であることが示されている <sup>9)</sup>。また、解析手法と平 行して斜面の土層厚の計測手法の開発 10)が行われ、 実際の斜面で土層厚の計測が行われてきた。その結 果、山地斜面の土層厚は空間による変動が大きいこ とが報告されている<sup>例えば1)、11)、12)</sup>。また、斜面上で土 層厚を計測するためには大きな労力を必要とするこ とから、表面地形から斜面の土層厚を推定する手法 の検討も行われてきた<sup>例えば13)、14)</sup>。しかし、現時点ま で、表面地形から土層厚を推定する有効な手法は開 発されていないのが現状である。このことは、数点 の測定では代表値が得にくく、斜面の土層厚の空間 分布を把握するためには、多くの点の観測が必要で あることを示唆している。しかし、依然として、土 層厚の計測密度が表層崩壊の発生予測結果に及ぼす 影響を検討した事例はほとんどない。そこで、本研 究では、有効性が検証されたモデル 8)を用いて、土 層厚の計測密度が表層崩壊の発生予測結果に及ぼす 影響について、明らかにすることを目的とし、検討 を実施した。

#### 2. モデルと対象地域

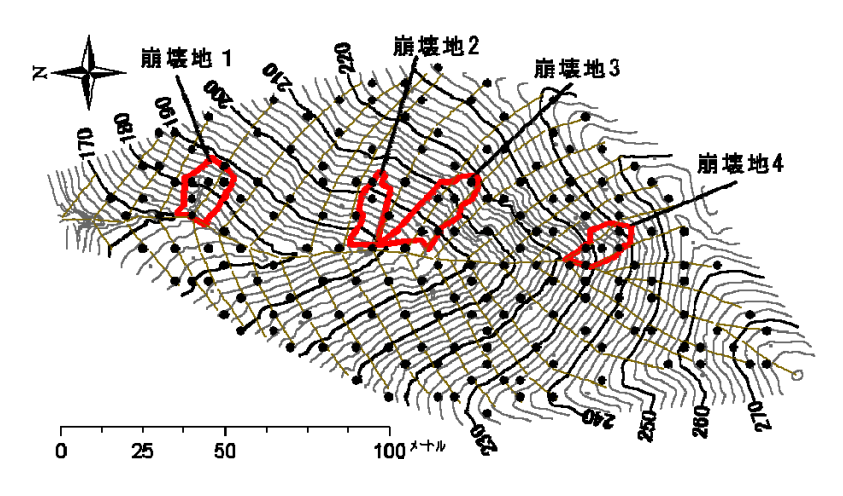


図-1 検討対象地域(コンターは2m間隔、図中の黒点は土層厚の計測点)

#### 2. 1 モデル

本研究で用いるモデル  $^{80}$ では、地下水位を定常状態(ある地点の上流域の集水域内における降雨強度は一定で、その降雨が全て地下水として流出するものとし、その地点に流れる地下水流量の時間的変化がない)と仮定した。その上で、無限長斜面の安定解析を用いて、斜面崩壊(安全率が  $^{12}$  となる)に必要な定常降雨強度( $^{12}$  に以下、「最小定常崩壊発生降雨強度」と呼ぶ)を式( $^{11}$  より算出するものである。算出された $^{12}$  の値が小さいほど相対的な表層崩壊発生危険度が高いことを表している。

$$r_c = \frac{K_s \tan I \cos I \{c - \gamma_t h \cos I (\sin I - \cos I \tan \phi)\}}{A \{\gamma_w \cos I \tan \phi + (\gamma_s - \gamma_t) (\sin I - \cos I \tan \phi)\}}$$
....(1)

ここで、 $r_c$ :最小定常崩壊発生降雨強度[m/s]、I: 勾配[ $^\circ$ ]、A:単位幅あたりの集水面積 $[m^2/m]$ 、h: 土層厚[m]、c:土層の粘着力 $[kN/m^2]$ 、 $\varphi$ :土層の内部摩擦角 $[^\circ$ ]、Ks:土層の飽和透水係数[m/s]、 $\gamma_s$ :土層の飽和時単位体積重量 $[kN/m^3]$ 、 $\gamma_w$ :水の単位体積重量 $[kN/m^3]$ である。

 $r_c$ [m/s]は任意の地点で土層の単位体積重量、土層厚、斜面勾配、土の粘着力、土の内部摩擦角、飽和透水係数、集水面積をもとに式(1)より求まる。ただし、この式(1)は、地下水位が地表面以下にある範囲で適応可能である。そこで、式(1)より算出された $r_c$ に対して式(2)より適用範囲内であるか判別する。

$$r_c < \frac{K_s h \tan I}{A} \cdots (2)$$

式(2)の条件を満足する場合は、式(1)より算出さ

れた $r_c$ を適用し、式(2)の条件を満たさない場合は、地表面に地下水面が達しても表層崩壊が発生ないことを表していることから、表層崩壊のおそれのない点として評価する。なお、以下については、 $r_c$ の値を実用上多く用いられている単位[mm/h]に換算し標記する。

#### 2. 2 対象地域

本研究の対象地域は、広島市街地から西方約11km に位置する八幡川流域の荒谷川流域内の右支渓とし た。調査地域周辺には、基盤岩として広島花崗岩類 が広範囲に分布し、場所により風化が進んでいる。 対象地域の集水面積は 0.014km2、斜面勾配は 12~ 54°で平均36°である。同地域は、森林に覆われて おり、斜面下部から中腹部は、針葉樹の人工林、上 部は広葉樹が主に分布している。1999年6月には、 総雨量 417mm、最大時間雨量 63mm の豪雨(魚切ダ ム:対象地域より北北西へ約1.4km)により、荒谷 川で土石流が発生し、多くの被害が発生している。 本研究の対象地域内においても、斜面崩壊が4箇所 発生した(図-1)。なお、1999年6月の豪雨時に広 島で発生した土石流・斜面崩壊は1時間降雨量の最 大値出現時刻と概ね一致していたことが報告されて いる <sup>15)</sup>。また、同地域では、2003 年より流域末端に おける流量観測および斜面における含水率、間隙水 圧の観測が継続されている。

### 3. 最小定常崩壊発生降雨強度の算定

# 3. 1 土層厚の設定

対象地域における土層厚は、簡易貫入試験機 <sup>10)</sup> (JGS1433 で規定される簡易動的コーン貫入試験機、

表-1 検討ケース

	_		土層厚	
ケ	ース	測定 密度	地点数	測定 間隔 (m)
0	-	100%	181	9
1	1. 1 1. 2	50%	91 90	12 12
2	2. 1 2. 2 2. 3 2. 4	25%	44 47 44 46	18 17 18 17
3	3. 1 3. 2 3. 3 3. 4 3. 5 3. 6 3. 7 3. 8 3. 9	11%	22 19 19 22 19 20 19 19	25 27 27 25 27 26 27 27 27 25
4	-	0%	0	_

先端コーン:内径25mm、先端角60°、ハンマー質量:5kg、落下距離:50cm)を用いて計181点を計測した。土層厚計測点の設定は、主渓流の谷筋を概ね9m間隔で設定し、設定した点から斜面の最急勾配方向の尾根部に10m~15m間隔で設定した。併せて斜面勾配が局所的に急勾配になっている点においても計測を行った。また、検討に用いる土層厚は崩壊地内及びその周辺の簡易貫入試験結果の比較により、Nd値(簡易貫入試験においてコーンを10cm貫入させるのに必要な打撃回数)が20より小さい部位は崩壊するおそれがあると考えられたため、各計測点のNd値が20より上部の厚さとした。崩壊地内の土層

厚は、簡易測量を行い、崩壊前の土層厚を推定した。

本研究では、土層厚の計測密度が危険度評価結果に及ぼす影響を評価することを目的とし、検討ケースは、土層厚の計測データ数を 50% (1/2)、25% (1/4)、11% (1/9) に減らしたケースと土層厚を全く計測しなかった場合を想定した 4 ケースとした。ケースの呼称は、ケース 1、2、3、4 とし、全ての土層厚計測データを用いたケースを「ケース 0」とした。また、土層厚計測データの抽出方法の影響をできるだけ小さくするために、全計測点 (181 点) が必ず 1 度抽出されるように、ケース 1 では 2 セット (ケース 1. 1、1. 2)、ケース 2 では 4 セット (ケース 2. 1、2. 2、2. 3、3. 4、3. 5、3. 6、3. 7、3. 8、3. 9) を設定した ( $\mathbf{表}$ - $\mathbf{1}$ 、 $\mathbf{Z}$ - $\mathbf{2}$ )。

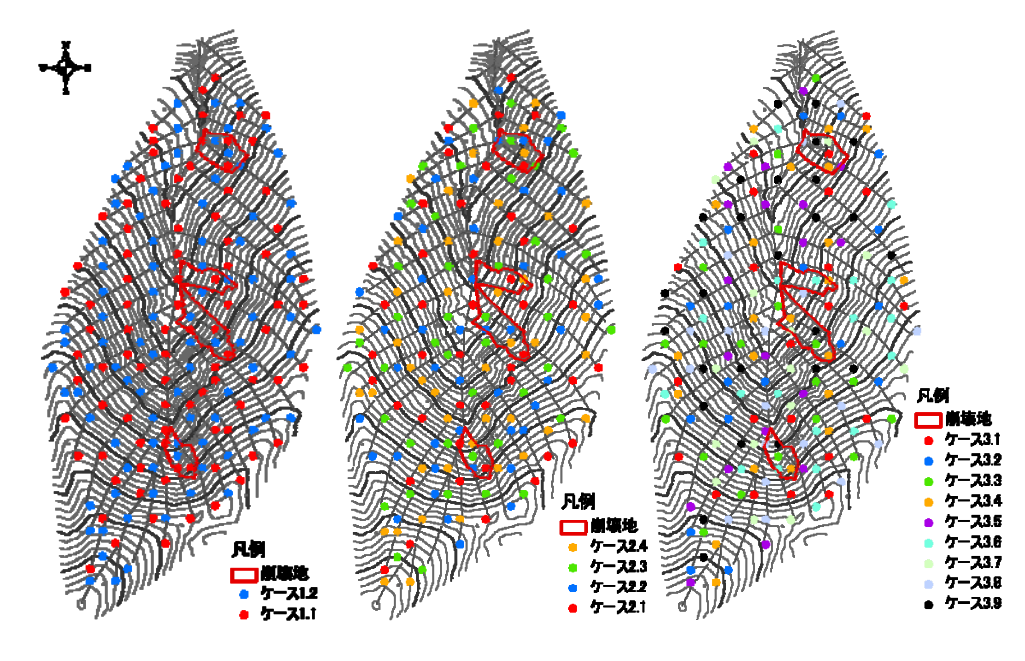


図-1 土層厚設定密度

表-2 土質定数

土質パラメータ	7	採用値
等価飽和透水係数	$K_s$	0.05 cm/s
粘着力	$\mathcal{C}$	$7.5 \text{ kN/m}^2$
内部摩擦角	$\phi$	$36.1^{\circ}$
飽和単位体積重量	$\gamma_s$	$17.9 \text{ kN/m}^3$
湿潤単位体積重量	$\gamma_t$	$15.2 \text{ kN/m}^3$
水の単位体積重量	$\gamma_{w}$	$9.8 \text{ kN/m}^3$

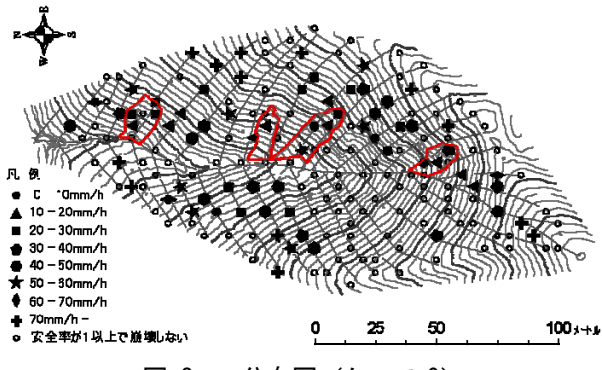


図-3 r<sub>c</sub>分布図 (ケース 0)

ュ(ケース 3)ごとに区分し、区分した 4 メッシュならびに9メッシュの中から1メッシュを抽出した。メッシュの抽出にあたっては、メッシュ間隔が等間隔となるようにした。抽出したメッシュにおいて土層厚の計測点と合致する場合は、そのまま計測値を土層厚として設定し、計測点がないメッシュは内挿計算より求めた。なお、内挿方法は、TIN 法(Triangulated Irregular Network)を用いた。また、ケース 4 の土層厚は、流域平均土層厚(141cm)とし

た。

#### 3.2 集水面積・斜面勾配の算定

既往の研究では、地形量を岩盤面の地形および地表面の地形の両者を用い、最小定常崩壊発生降雨強度  $(r_c)$  を算出した結果、差は小さいものの、岩盤面の地形を用いた場合の方が表層崩壊の発生をよりよく再現できることが示されている  $^{8}$  。そこで、本研究においても、集水面積および斜面勾配の計算は、岩盤面を対象に行うこととし、検討ケースごとに行った。

各岩盤面の標高データは、3.1 項で作成した 5m 正方形メッシュにレーザープロファイラデータ (1mDEM) の地表面標高値を相加平均した値を割り当て、その地表面標高値から 3.1 項で算定した土層 厚を減じて推定した。

岩盤面の地形量は、D-Infinity Flow Direction 法 <sup>16</sup> を用いて集水面積と斜面勾配を算出した。なお、D-Infinity Flow Direction 法は全方向を 0.01° 刻みで算出し、最急勾配の方向を求めることで、上流側のメッシュから下流側 2 メッシュに対して流下する流量の重み付けを行い、流下させる手法である。

#### 3.3 計算の実施

検討ケースにおける各メッシュの最小定常崩壊発生降雨強度 (r<sub>c</sub>) を式(1)より算出した。実際、透水係数や土質強度は斜面で空間的にばらつきがあると考えられる。これに対して、荒谷川流域においては透水係数、土質強度を一定とした場合においても、ある程度表層崩壊箇所が再現できることが示されて

表-3 計算結果

		土層 飽和		rc													
ケース	土層厚	が1以下になる <sup>■</sup> 地点数		20mm/h以下の 地点数		30mm/h以下の 地点数		40mm/h以下の 地点数		50mm/h以下の 地点数		60mm/h以下 の地点数		70mm/h以下 の地点数		100mm/h以下の 地点数	
	実測地 点数	対象 地域 全体	崩壊 地内	対象 地域 全体	崩壊 地内	対象 地域 全体	崩壊 地内	対象 地域 全体	崩壊 地内	対象 地域 全体	崩壊 地内	対象 地域 全体	崩壊 地内	対象 地域 全体	崩壊 地内	対象 地域 全体	崩壊 地内
0	181	69	14	14	7	27	11	37	13	45	13	53	14	56	14	62	14
1.1	91	69	10	7	2	22	6	34	8	44	9	49	9	52	10	59	10
1.2	90	72	16	19	8	30	14	42	16	50	16	56	16	61	16	65	16
2.1	44	63	11	7	1	20	6	25	7	36	7	41	7	47	9	55	11
2.2	47	72	11	14	5	24	6	41	10	46	10	53	10	55	10	63	11
2.3	44	58	16	19	8	32	12	41	14	47	16	50	16	50	16	55	16
2.4	46	78	14	18	9	32	12	41	13	55	14	61	14	65	14	68	14
3. 1	22	50	7	9	3	19	4	23	4	26	4	31	4	33	4	39	7
3.2	19	79	12	6	3	17	6	27	7	45	7	54	9	59	9	66	10
3.3	19	86	19	20	9	41	15	50	15	59	17	67	18	72	19	78	19
3.4	22	81	15	13	7	22	9	39	9	54	12	57	13	64	13	71	14
3. 5	19	52	11	14	4	22	7	28	8	36	9	42	9	45	9	50	10
3.6	20	77	13	16	7	26	10	37	12	52	12	57	12	63	13	65	13
3.7	19	87	17	22	11	38	12	45	13	56	13	64	15	66	15	70	16
3.8	19	44	4	2	1	9	2	18	3	28	4	33	4	37	4	40	4
3.9	22	98	18	20	9	37	14	45	15	58	18	69	18	73	18	78	18
4	0	107	19	14	5	35	9	54	12	69	13	78	14	84	15	95	18

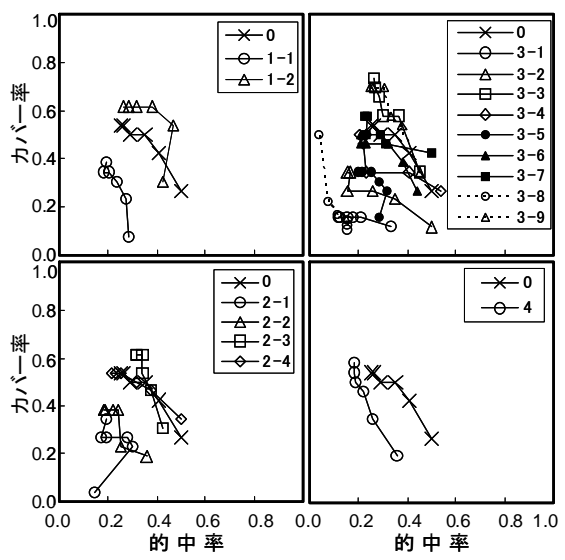


図-4 的中率とカバー率の関係(データセット)

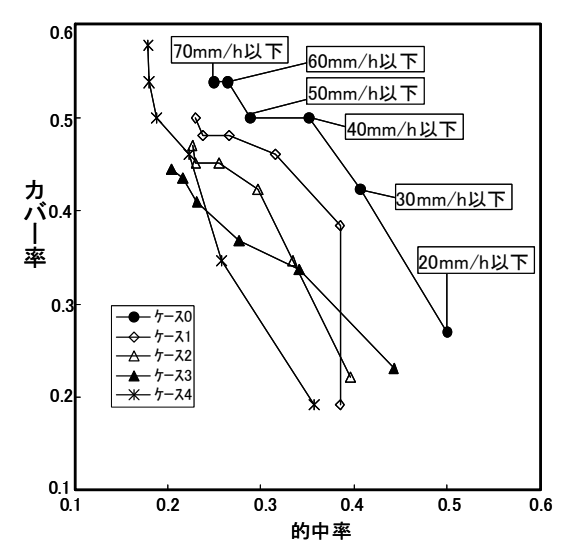


図-5 的中率とカバー率(各ケースの平均)

いる  $^8$ 。そこで、本研究においても土層厚の計測密度に依存する土層厚、地形量(集水面積・斜面勾配)以外のパラメータについては、対象地域内に一定値を与えた。なお、用いたパラメータは、崩壊箇所を良好に再現できた表-2 に示した値を全ケース共通として用いた  $^8$ 。また、ケース 0 において土層厚の計測点が配点された 181 メッシュを最小定常崩壊発生降雨強度  $(r_c)$  の評価・分析を行う評価点として設定し、最小定常崩壊発生降雨強度  $(r_c)$  の算出結果および土層厚、地形量の設定結果について以下で検討した。

# 4. 結果

# 4. 1 各ケースの $r_c$ の算出結果

各ケースの $r_c$ の算出結果は、表-3に示すとおりである。181点の評価点の内、土層飽和時に安全率が1以下となり崩壊しうる評価点は、ケース0で69点となった。 $\mathbf{2}$ -3はケース0の $r_c$ 分布図を示した。4つの崩壊地内の評価点のうち、各崩壊地で少なくとも1点は実際の最大1時間降雨量63mm/h以下の $r_c$ であった。また、ケース0において、 $r_c$ が70mm/h以下となる評価点に占める崩壊地内の評価点の割合は25%、50mm/h以下では29%、20mm/h以下では50%となり、 $r_c$ が小さくなるほど崩壊地内の評価点の占める割合が大きく、崩壊危険度を良好に評価できていた(表-3)。

また、その他のケースにおける土層飽和時に安全率が 1 以下となり崩壊しうる評価点は、 $69\sim72$  の評価点(ケース 1)、 $63\sim78$  の評価点(ケース 2)、 $44\sim98$  の評価点(ケース 3)、107 の評価点(ケース 4)となった。土層厚の計測点を減らすほど、ケース 0 の評価点数との差が大きくなっていた。

図-4は、1999年の豪雨時の最大1、3、6時間の平 均降雨強度が 63、44、28mm/h であったことから、 各ケースの $r_c$ が 20~70mm/h となる評価点を集計し、 評価したものである。横軸の的中率は、r。がある降 雨強度以下となる評価点の内、実績崩壊地内の評価 点が占める割合を示したものである。また、縦軸の カバー率は、実績崩壊地内の全評価点の内、ある降 雨強度以下となる評価点の割合を示したものである。 例えば、ケース 0 の 50mm/h 以下の的中率およびカ バー率は、崩壊地内の評価点の総数が26であること から、表-3より的中率は0.29(13/45)、カバー率は 0.50 (13/26) となる。すなわち、的中率・カバー率 がともに高く評価された場合は、崩壊のおそれのあ る評価点を崩壊のおそれのない評価点と評価する見 逃しや実績崩壊地内の評価点を崩壊のおそれのない 評価点と評価する空振りがともに少ないことを意味 し、図-4に示すように的中率が大きくなるに従いカ バー率が小さくなるということは空振りを減らそう とすると見逃しが増加することを意味している。言 い換えれば図上の右上(的中率もカバー率も高い) ほど、表層崩壊の発生箇所を正しく予測できている ことを意味している。

図-4 では、同じケースにおいても、データセットにより的中率およびカバー率にばらつきが見られた。ただし、的中率とカバー率の関係は、いずれのデータセットを用いた場合もケース0とほぼ同様か、ケース0より図中左下側(的中率、カバー率の小さ

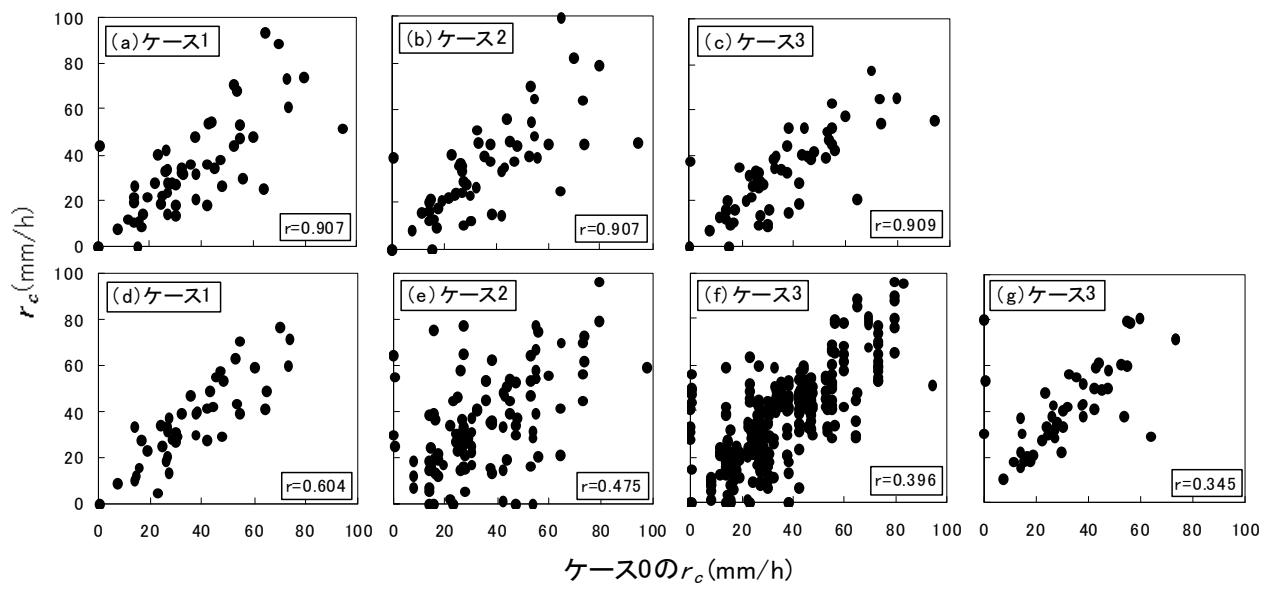


図-6  $r_c$ が 100mm/h 以下のケース 0 の  $r_c$ と各ケース  $r_c$ の関係 (上段:土層厚計測評価点、下段:土層厚内挿評価点。図中の r は順位相関係数を表す)

い側) にプロットされた。更に各ケースの平均値から求めた的中率とカバー率の関係(図-5)を見ると、ケース 0 の的中率は 50%~25%となった。同様に、ケース 1~4 の的中率は、38%~23% (ケース 1)、40%~23% (ケース 2)、44%~20% (ケース 3)、36%~18% (ケース 4) となった。また、カバー率は、27%~54% (ケース 0)、19%~50% (ケース 1)、22%~47% (ケース 2)、23%~44% (ケース 3)、19%~58% (ケース 4) となった。さらに、同じカバー率の場合、全ての土層厚計測点の土層厚を用いたケース 0 の的中率が最も高くなり、土層厚の計測点を減らすほど、的中率が低下する傾向が見られた。このことは、見逃しの程度が同じ場合、土層厚の計測点を減らすほど、空振りが増えることを意味している。

#### 4. 2 $r_c$ の算出結果の比較

ケース  $1\sim3$  の評価点の内、ケース 0 の土層厚計測点の計測値より土層厚を設定した評価点(以下、「土層厚計測評価点」と呼ぶ)における  $r_c$  とケース 0 の  $r_c$  の相関関係は $\mathbf{Z}$ - $\mathbf{G}$ (a) (b) (c) に示すとおりでありケース 0 の  $r_c$  に対してややばらつきが見られるが、順位相関係数はいずれのケースにおいても 0.9 以上で明瞭な相関関係が見られた。また、土層厚の計測点を減らしたため、周囲の土層厚計測評価点の計測値を用いて内挿計算で土層厚を設定した評価点(以下、「土層厚内挿評価点」と呼ぶ)においても、各ケースの  $r_c$  とケース 0 の  $r_c$  の相関図を整理し、それを $\mathbf{Z}$ - $\mathbf{G}$ (d) (e) (f) (g) に示した。ケース 0 の  $r_c$  のばらつきは、土層厚計測評価点の場

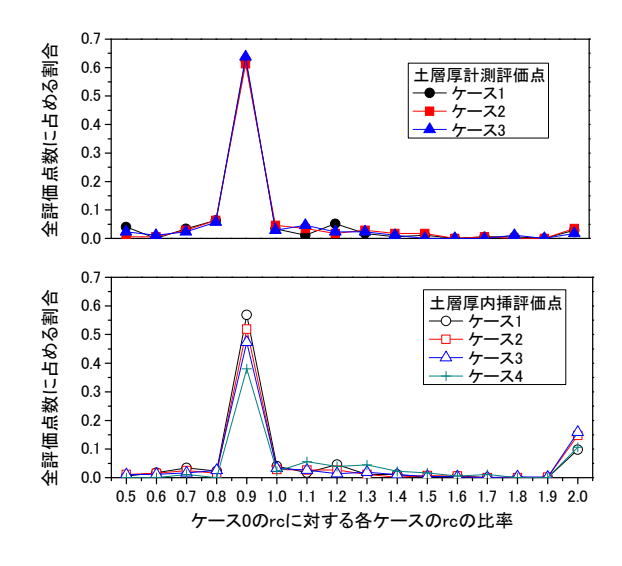


図-7 ケース 0 の  $r_c$ に対する各ケースの  $r_c$ の比率(上:土層厚計測評価点、下:土層厚内 挿評価点)

合よりも大きく、順位相関係数は0.60 (ケース1)、0.48 (ケース2)、0.40 (ケース3)、0.35 (ケース4) となり、相関性は土層厚計測評価点に比べて弱い。また、用いる土層厚計測点が減るとさらに相関性は低下した。それらを詳しく見るために、ケース0 の $r_c$ に対する各ケースの $r_c$ の比率を $\mathbf{20-7}$  に示す。横軸は比率の階級(級間は0.1)であり、例えば、横軸が0.5 の場合、ケース0 の $r_c$ に対する各ケースの $r_c$ の比率は0.5~0.6 であることを示している。 $\mathbf{20-7}$  に示すようにケース0 の $r_c$ に対する各ケースの $r_c$ の比は0.9~1.0 の区間に集中していた。この区間にお

けるケース 1、2、3の土層厚計測評価点では、全評価点数に占める割合は 0.6 程度であった。土層厚内挿評価点では、全評価点数に占める割合が 0.57 (ケース 1)、0.52 (ケース 2)、0.47 (ケース 3)、0.38 (ケース 4) と土層厚の計測点を減らしたケースほど低下していた。また、ケース 0 の $r_c$  に対する各ケースの  $r_c$  の比が  $0.9\sim1.0$  の区間以外では、各ケースの土層厚の計測評価点および内挿評価点においてもほとんど差は見られなかった。以上の結果より、土層厚計測評価点では、土層厚の計測点を減らすことによる影響はほとんど無いが、土層厚内挿評価点では、土層厚の計測点を減らすほど、 $r_c$  に与える影響は大きくなると言える。

#### 5. 考察

# 5. 1 土層厚の計測密度が土層厚の空間分布および 地形量に与える影響分析

ケース 0 に対する各ケースの土層厚の空間分布と 地形量(斜面勾配、集水面積)について、土層厚計 測評価点、土層厚内挿評価点に区分して相関係数を 整理し、表-4 に示した。

#### 5. 1. 1 土層厚

土層厚計測評価点において、ケース0とケース1、2、3の土層厚は、表-4に示したように一致する。一方、土層厚内挿評価点では、ケース0の土層厚に対する各ケースの相関係数が0.37(ケース1)、0.36(ケース2)、0.38(ケース3)、0.24(ケース4)と小さい。詳しくみると、図-8(整理方法は図-7と同様)に示すように、ケース0の土層厚に対する比の頻度分布は、ケースによらずほぼ同じで広く分布しており、ばらつきが大きかった。以上の結果より、土層厚の計測点を減らすことは土層厚の空間分布に大きく影響を及ぼしていると言える。

#### 5. 1. 2 斜面勾配

土層厚計測評価点におけるケース 0 の斜面勾配に対する相関係数は 0.91 (ケース 1)、0.88 (ケース 2)、0.88 (ケース 3) となり、高い相関関係が見られた。詳しくみると、図-9 (整理方法は図-7 と同様)に示すように、ケース 0 の斜面勾配に対する各ケースの斜面勾配の比は  $0.9\sim1.1$  の区間に集中していた。斜面勾配の比が  $0.9\sim1.0$  及び  $1.0\sim1.1$  の区間を合わせた斜面勾配の比が全評価点中に占める割合は、土層厚計測評価点 0.78 (ケース 1)、0.73 (ケース 2)、0.69 (ケース 3) となり、土層厚の計測点を減らすほど全評価点中に占める割合はやや低下していた。

表-4 相関係数一覧表

ケース		±	層厚計	測評価点	į .	土層厚内挿評価点				
		データ 個数	土層厚	勾配	集水 面積	データ 個数	土層厚	勾配	集水 面積	
	1.1	91	1.000	0. 927	0. 942	90	0.355	0.816	0.876	
1	1.2	90	1.000	0.885	0.954	91	0.392	0.895	0.964	
	全体	181	1.000	0.907	0.945	181	0.370	0.866	0.966	
	2.1	44	1.000	0.894	0. 939	137	0.213	0.821	0.927	
2	2.2	47	1.000	0.916	0.911	134	0.367	0.846	0.969	
	2.3	44	1.000	0.761	0.940	137	0.440	0.895	0.971	
	2.4	46	1.000	0.928	0.922	135	0.449	0.841	0.932	
	全体	181	1.000	0.884	0.907	543	0.361	0.853	0.945	
	3.1	22	1.000	0.904	0.912	159	0.315	0.849	0.929	
	3.2	19	1.000	0.901	0.994	162	0.205	0.841	0.946	
	3.3	19	1.000	0.895	0.968	162	0.105	0.835	0.996	
	3.4	22	1.000	0.887	0.979	159	0.260	0.835	0.950	
3	3.5	19	1.000	0.855	0.972	162	0.210	0.821	0.991	
3	3.6	20	1.000	0.845	1.000	161	0.260	0.840	0.930	
	3.7	19	1.000	0.849	0.960	162	0.332	0.845	0.934	
	3.8	19	1.000	0.940	0.999	162	0.187	0.834	0.946	
	3.9	22	1.000	0.895	1.000	159	0.381	0.822	0.917	
	全体	181	1.000	0.879	0.981	1448	0.242	0.835	0.936	
4	-	0	_	_	_	181	_	0.847	0.697	

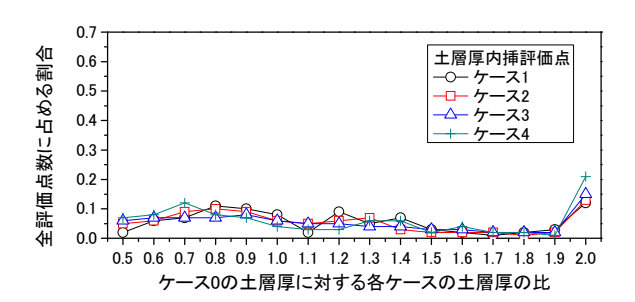


図-8 ケース 0 の土層厚に対する各ケースの土層 厚の比の割合

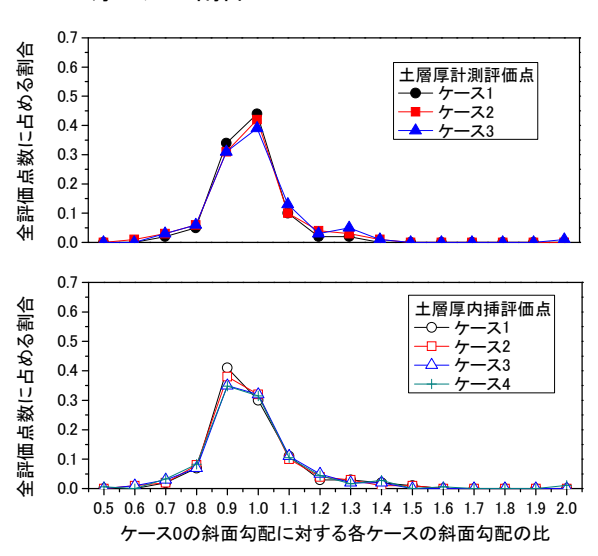


図-9 ケース 0 の斜面勾配に対する各ケースの斜面勾配の比の割合

また、土層厚内挿評価点では、0.71 (ケース1)、0.7 (ケース2)、0.68 (ケース3)、0.66 (ケース4)となり、土層厚計測評価点と同様にやや低下していた。また、それ以外の区間では、土層厚計測評価点および土層厚内挿評価点のいずれのケースにおいてもほ

とんど差は見られなかった。以上の結果より、ケース0に対する斜面勾配のばらつきは、土層厚計測評価点および土層厚内挿評価点に係らず小さいことから、土層厚の計測点を減らすことが斜面勾配の算出結果に及ぼす影響は小さいと言える。

#### 5. 1. 3 集水面積

集水面積において、土層厚計測評価点におけるケ ース 0 の集水面積に対する各ケースの相関係数は 0.95 (f-z), 0.91 (f-z), 0.98 (f-z)となっており、高い相関関係が見られた。詳しくみ ると、**図-10**(整理方法は**図-7** と同様)に示すよう に、 $r_c$ や斜面勾配ほど明確ではないもののケース 0 の集水面積に対する各ケースの集水面積の比が全評 価点に占める割合は 0.9~1.0 の区間に集中してい た。この区間において、土層厚計測評価点における 全評価点に占める割合は、0.33 (ケース1)、0.29 (ケ ース2)、0.23 (ケース3) となり、土層厚の計測点 を減らすほど、やや低下していた。また、土層厚内 挿評価点では 0.21 (ケース 1)、0.21 (ケース 2)、 0.21 (ケース3)、0.2 (ケース4) となり、差は見ら れなかった。また、それ以外の区間では、土層厚計 測評価点および土層厚内挿評価点のいずれのケース においてもほとんど差は見られなかった。以上の結 果より、ケース0に対する集水面積のばらつきは、 いずれのケースにおいても小さいことから、土層厚 の計測点を減らすことによる集水面積に及ぼす影響 は小さいと言える。

## 5. 2 土層厚の計測密度に関する提案

上記の結果、土層厚計測評価点では、土層厚の計測密度が土層厚の空間分布や地形量に及ぼす影響は少なく、土層厚の計測密度が $r_c$ の算出結果に及ぼす影響は比較的小さかった。また、土層厚内挿評価点では、土層厚の計測密度が土層厚の空間分布に及ぼす影響が大きく、土層厚の計測密度が $r_c$ の算出結果に及ぼす影響は大きかった。

土層厚の計測幅を崩壊地幅より広くした場合、計測点が崩壊地内に1点もない可能性が考えられる。 さらに、本研究の検討に基づくと、土層厚の計測を行っていない点におけるrcは、正しく算出されていない恐れがある。そのため、崩壊地幅より測定間隔を広げた場合、崩壊地を見逃す恐れがある。一方、土層厚の計測幅を実績崩壊地の幅より狭くすると、一般的に崩壊地の長さは幅に比べて長いため、土層厚計測評価点は崩壊地内に少なくとも2点以上が含まれることになる。本研究の結果からは、土層厚計

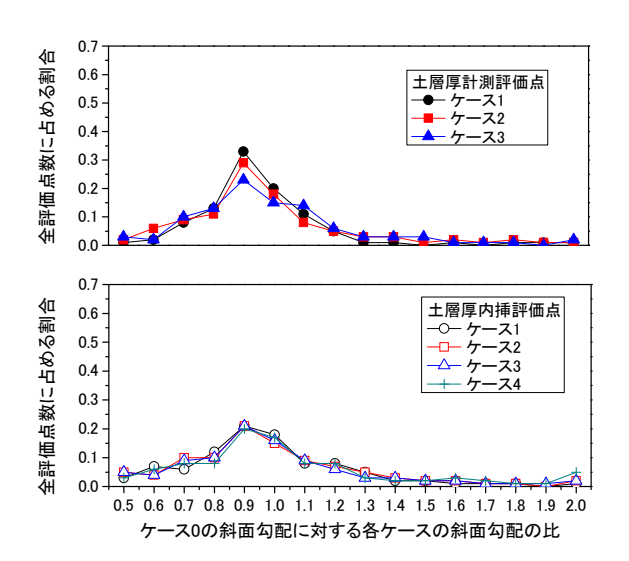


図-10 ケース 0 の集水面積に対する各ケースの 集水面積の比の割合

測評価点における $r_c$ の算出結果は、土層厚の計測密度に依存しないため、土層厚を崩壊地幅より短い間隔で計測した場合、崩壊の恐れの高い箇所を見逃す恐れは小さくなる。したがって、面的に表層崩壊を評価するためには、土層厚の計測密度は少なくとも既往の崩壊地幅程度の間隔で実施することが望ましいと考えられる。

本研究の各検討ケースにおける土層厚の計測間隔は、概ね9m (ケース0)、12m (ケース1)、18m (ケース2)、26m (ケース3) であったのに対し、検討対象地区の実績崩壊地幅は5.3~14.0m 程度で平均幅は約9.0m である。表層崩壊発生場所の予測精度が良好なケース0の測定幅は、実績崩壊地幅と同程度であった。このことは、本研究で対象とした既往崩壊地幅よりも規模の大きい表層崩壊が生じる可能性が高いと判断される地域では、その地域の既往崩壊地幅程度まで土層厚の計測間隔を広げることができる可能性を示唆している。

## 6. 結論

本研究では、土層厚の計測密度が表層崩壊危険度 評価に及ぼす影響を評価するため、検討ケースを計 測した土層厚を全て用いたケースと計測した土層厚 の内、1/2、1/4、1/9 に減らしたケース、土層厚を 計測しなかったケースの4ケースとした。影響評価 は基本的に実測できるもののみで構成した比較的簡 易な表層崩壊危険度評価手法を用いた。本手法は、 地下水位を定常状態と仮定し、無限長斜面の安定解 析式を用いて斜面崩壊が生じる最小定常崩壊発生降

雨強度  $(r_c)$  を算出するものである。本研究では同 手法を 1999 年広島県西部の荒谷川流域で生じた豪 雨による斜面崩壊に適用し、その再現性について比 較を行った。その結果、以下の3点が分かった。 1) r。の算出結果にもとづく斜面崩壊の再現性は、土 層厚の計測密度が既往崩壊地幅と同程度で計測した 七層厚を、全て用いたケースのカバー率、的中率が 良好な結果となった。また、土層厚の計測密度を広 げたケースほど、カバー率や的中率が低下していた。 2) rc の算出結果は、土層厚の計測密度の影響が大き く、斜面勾配や集水面積による影響は比較的小さい。 3) 土層厚の計測地点の rcの算出結果は、計測密度に 依存せずに同等な値となるが、土層厚の計測地点以 外(土層厚内挿評価点)の $r_c$ の算出結果は、計測密 度が広がるほど、土層厚を計測した場合に比べて誤 差が大きい。

以上の結果から、土層厚の計測密度を既往の崩壊 地幅程度とした場合、表層崩壊の危険度評価を良好 に行えることを示した。しかし、現状では土層厚の 計測に多大な労力を要するため、今後土層厚データ の蓄積とともに表面地形や微地形から土層厚を推定 する手法の開発が重要であると考える。なお、ここ での結果は、1 流域のみの結果であるため、今後さ らなる検討を行い、結果の普遍性・一般性について も検証する必要がある。

## 参考文献

- 1) 沖村 孝・市川龍平・藤井郁也: 表土層内浸透水の集水 モデルを用いた花崗岩表層崩壊発生位置の予知のための手法、砂防学会誌(新砂防)、Vol.37 No.5、p.4-13、1985.
- 2) 平松晋也・水山高久・石川芳治:雨水の浸透流下過程を 考慮した表層崩壊発生予測手法に関する研究、砂防学 会誌(新砂防) Vol.43 No.1、p.5-15、1990.
- Montgomery , D. R. , and W. E. Dietrich : A physically-based model for the topographic control on shallow landsliding. Water Resources Research Vol.30, p.1153-1171, 1994.
- Wu、 W. and Sidle、 R. C.: A distributed slope stability model for steep forested watersheds. Water Resources Research Vol.31、p.2097-2110、1995.
- Pack, R. T., D. G. Tarboton and C. N. Goodwin.: The SINMAP Approach to Terrain Stability Mapping., Paper Submitted to 8th Congress of the International Association of Engineering Geology, Vancouver, British Columbia,

#### Canada, 1998.

- 6) 小杉賢一朗・水山高久・藤田正治:表層崩壊発生予測 モデルによる地下水位の再現精度の検討、砂防学会誌 Vol.55 No.3、p.21-32、2002.
- 7) 三隅良平・小口高・真木雅之・岩波越:分布型流出モデルを用いた表層崩壊危険域のリアルタイム予測、自然災害科学 Vol.23、p.415-432、2004.
- 8) 内田太郎・盛 伸行・田村圭司・寺田秀樹・瀧口茂隆・ 亀江幸二:場の条件の設定手法が表層崩壊発生箇所の 予測に及ぼす影響、砂防学会誌 Vol.62 No.1、p.23-31、 2009.
- 9) 沖村 孝: 山地斜面の調査と対策、地質と調査 第3号、 p.22-28、1987.
- 10)大久保 駿・上坂 利幸:簡易貫入試験機による地質調 査、土木技術資料 第1302 号、p.31-35、1971.
- 11) 飯田智之・田中耕平:簡易貫入試験からみた土層深と 地形の関係、地形 Vol.18 No.1、p.61-78、1997.
- 12) Heimsath et al.: Stochastic processes of soil production and transport: erosion rates topographic variation and cosmogenic nuckides in the oregon coast range. Earth Surface Processes and Landforms, Vol.26, p.531-552, 2001.
- 13) W. E. Dirtrich and Robert Reiss and Mei-Ling Hsu and D. R. Montgomery. : A process-Based Model for colluvial soil depth and shallow landsliding usig digital elevation data., Hydrological processes. Vol.9, p.383-400, 1995.
- 14) 沖村 孝:表層崩壊予知モデルに用いる表土層厚推定法、砂防学会誌(新砂防) Vol.42 No.1、14-21、1989.
- 15) 岡本正男・仲野公章・秦 耕二・荒木義則・古川浩平・ 水山高久: 局地的な集中豪雨に対する土石流警戒避難 基準雨量の設定に関する研究~1999.6.29 広島災害に おける事例~、砂防学会誌 Vol.55 No.1、p.15-25、2002.
- 16) Tarboton, D. G: A new method for the determination of flow directions and upslope areas in grid digital elevation models., Water Resources Research Vol.33, p.309-319, 1997.

#### DEVELOPMENT OF A METHOD FOR ADVANCED SEDIMENT-RELATED DISASTER WARNING

Budged: Grants for operating expenses, General account

Research Period: FY2010-2013

**Research Team**: Volcano and Debris Flow Team

Author: Tadanori ISHIDUKA, Taro UCHIDA,

## 【英文要旨】

In this study, we investigated effects of interval of measurement of soil thickness on prediction of shallow landslide susceptibility. Study area is the Aratani district, the West Hiroshima mountain range, where 4 landslides occurred in a heavy rain of June, 1999. We prepared five datasets about soil thickness which have different spatial resolution. We calculated spatial distribution of critical steady-state rainfall (rc) required to cause slope instability. If interval of measurement of soil thickness was high enough, the spatial distribution of critical steady-state rainfall (rc) were consistent with the spatial pattern of shallow landslides triggered by the heavy rainfall of June, 1999. While, the critical steady-state rainfall (rc) could not explain the location of shallow landslides at the point where we did not measure soil thickness. Based on these analysis, we considered measurement intervals of soil thickness have to be shorter than width of the old shallow landslide scars.

【英文キーワード】

shallow landslide, Soil thickness, slope gradient, upslope contributing area, penetration test